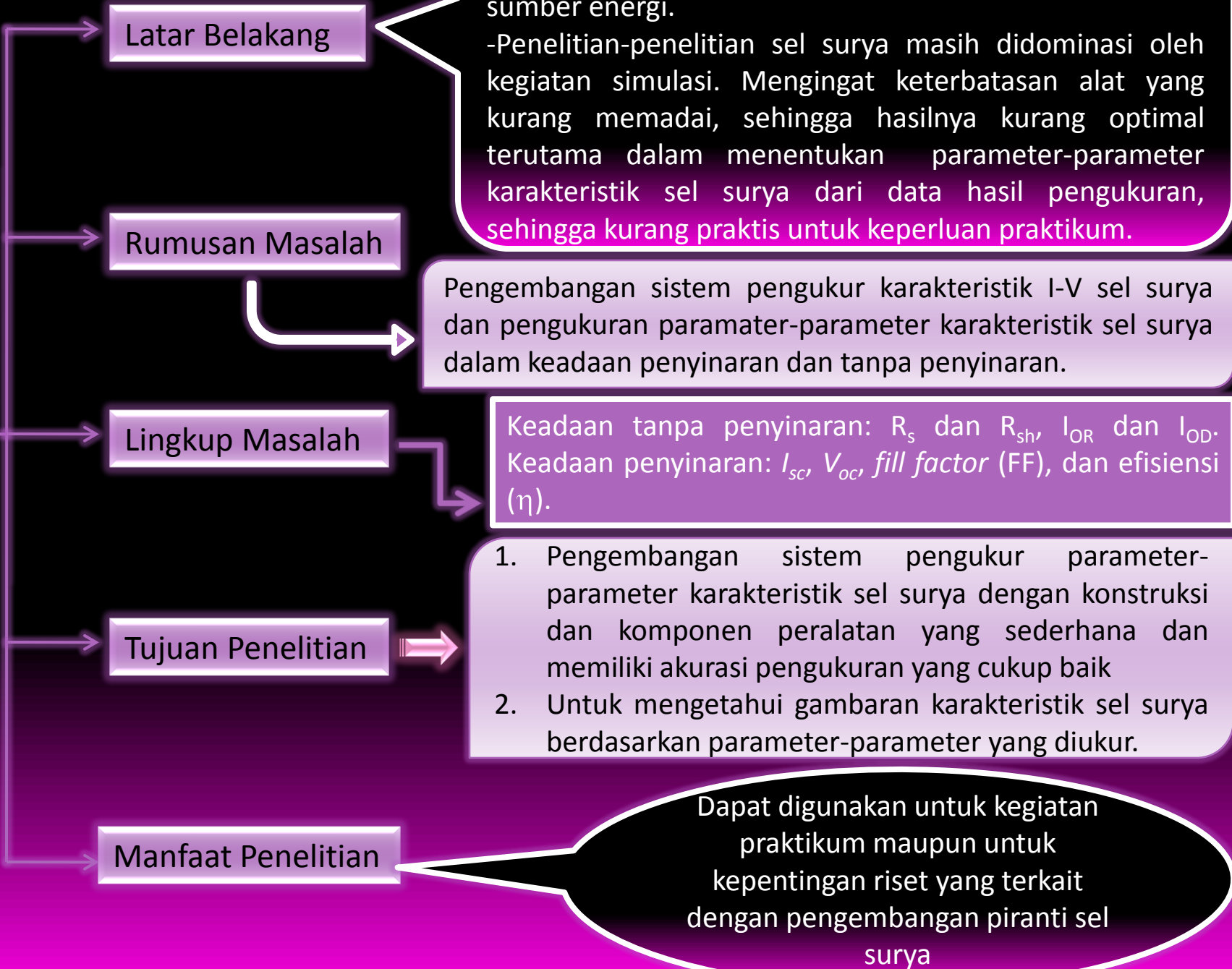




Program Studi Fisika
Jurusan Pendidikan Fisika – FPMIPA
UNIVERSITAS PENDIDIKAN INDONESIA

PENGEMBANGAN SISTEM PENGUKUR KARAKTERISTIK I-V SEL SURYA DALAM KEADAAN PENYINARAN DAN TANPA PENYINARAN

PENDAHULUAN





TINJAUAN PUSTAKA

• Tinjauan Umum Tentang Sel Surya

Keuntungan (Wolf, 1991):

1. Mengkonversi langsung energi radiasi matahari menjadi energi listrik.
2. Ramah lingkungan, tanpa emisi saat dioperasikan, dan tidak memerlukan bahan bakar.
3. Dapat digunakan di mana-mana dan dapat diintegrasikan pada bangunan ataupun konstruksi yang lain.
4. Berbentuk modular sehingga jumlah sel surya yang dipakai dapat disesuaikan dengan kebutuhan.

• Material Sel Surya Silikon Amorf (a-Si)

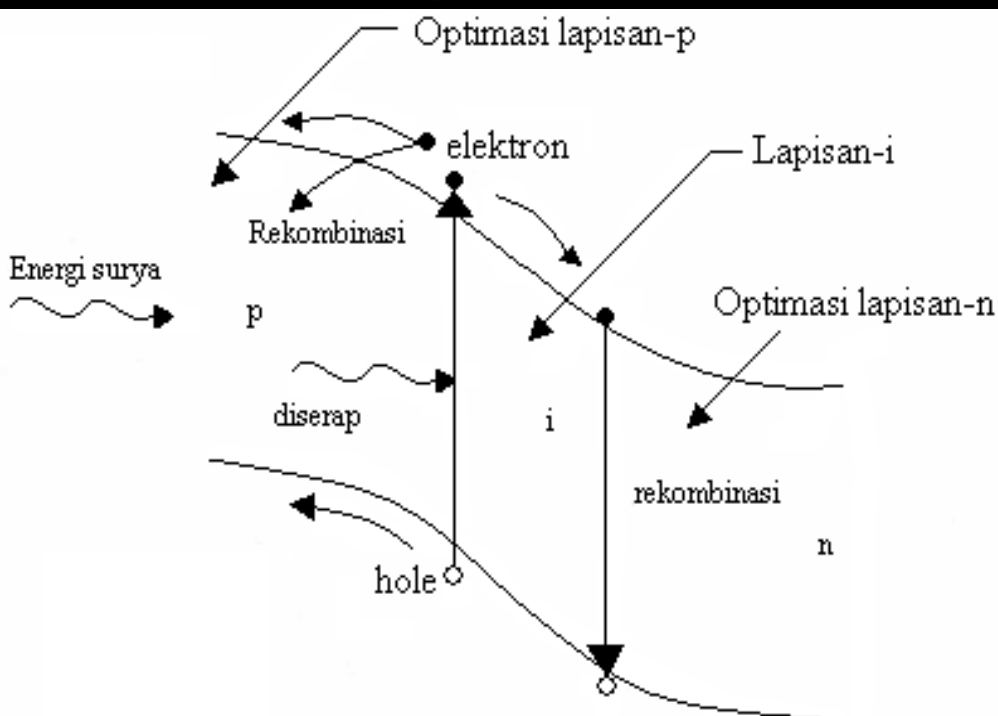
Kelebihan:

1. Koefisien absorpsi optik yang lebih tinggi ($> 10^5 \text{ cm}^{-1}$).
2. Cela pita optik yang lebih lebar (~ 1,7 eV).
3. Temperatur penumbuhannya jauh lebih rendah (~250°C) sehingga dapat difabrikasi di atas berbagai jenis substrat seperti *stainless steel*, gelas atau plastik.
4. Teknologi pembuatannya lebih sederhana dengan bahan baku yang melimpah.

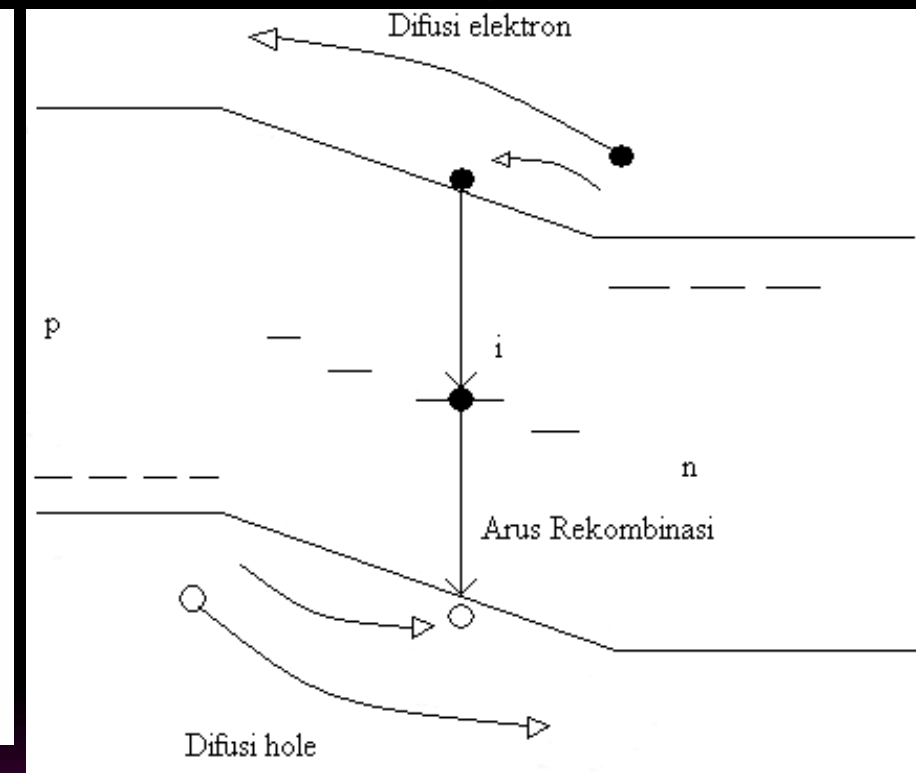
Kekurangan:

Memiliki struktur dan sifat listrik yang kurang baik dibanding c-Si, sehingga efisiensi konversinya lebih rendah

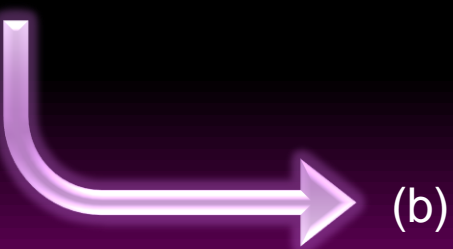
Mekanisme Konversi Fotovoltaik



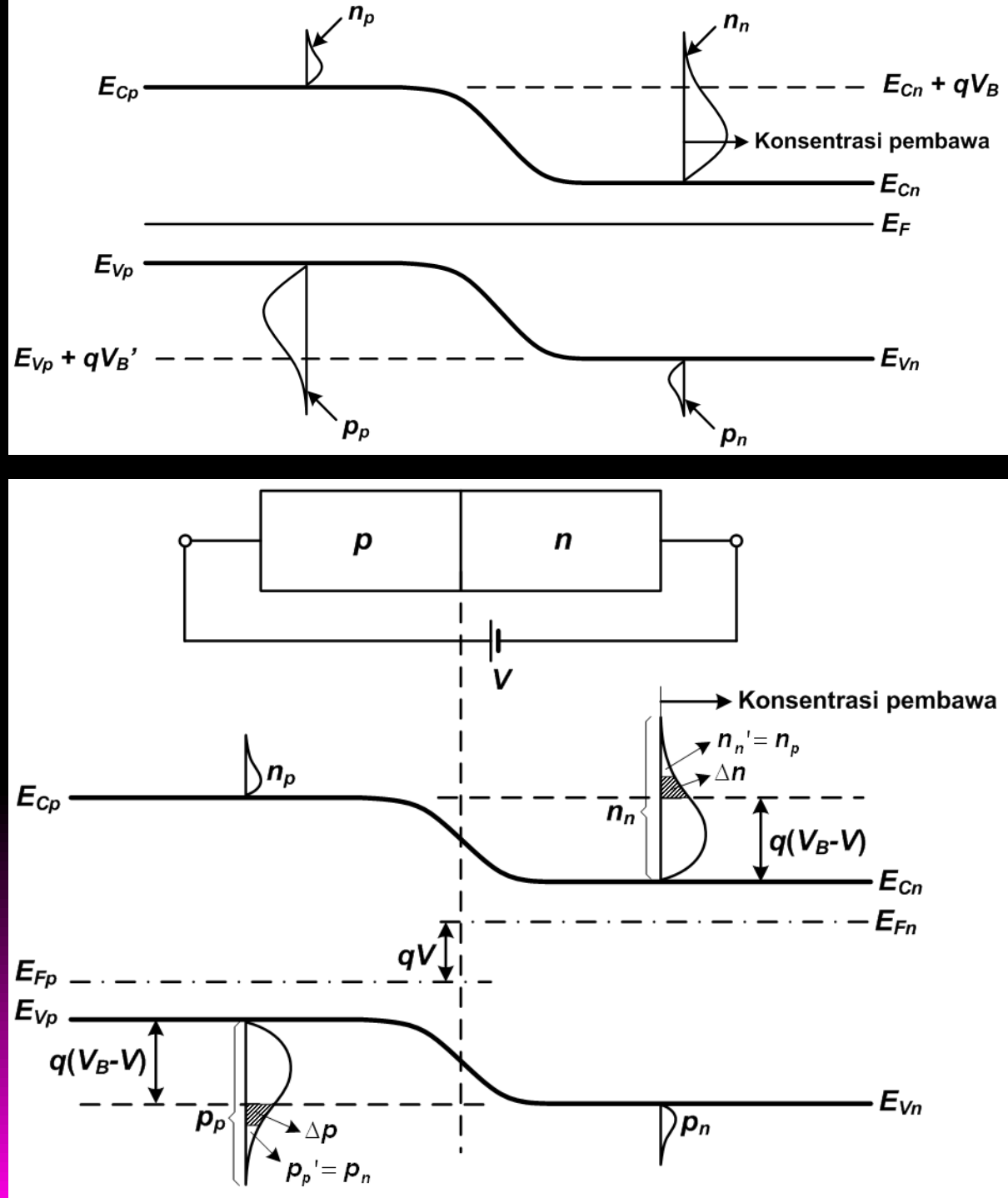
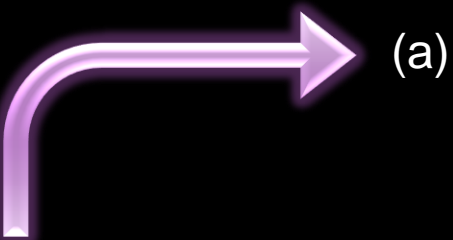
Gambar 2.2. Ilustrasi proses konversi fotovoltaik dalam sel surya berbasis silikon amorf (Takahashi dan Konagai, 1986).

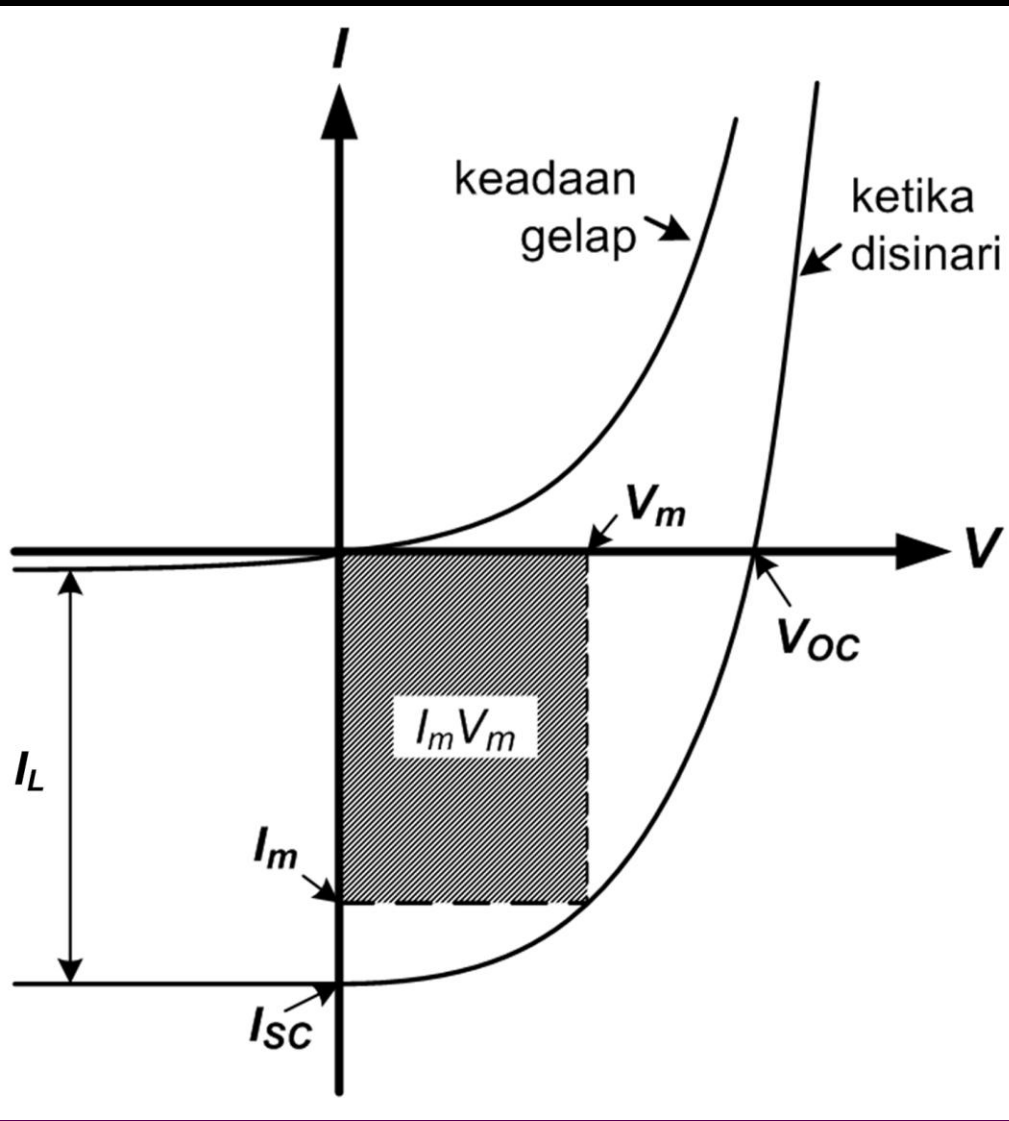


Gambar 2.6. Mekanisme transport arus dioda p-i-n (Takahashi dan Konagai, 1986)



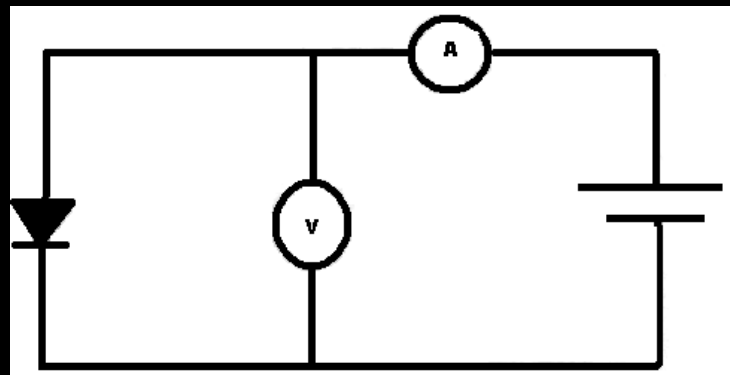
Gambar 2.5. Mekanisme pembawa muatan dalam sel surya, (a) sebelum diberi panjar, (b) setelah diberi panjar (Reka Rio, 1999).



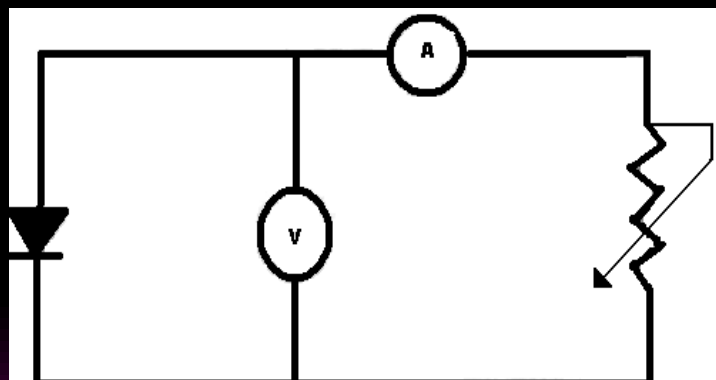


Gambar 2.8. Karakteristik I-V sel surya tanpa disinari dan ketika disinari, yang menghasilkan parameter dasar: arus penyinaran (I_L), arus hubungan singkat (I_{sc}) dan tegangan rangkaian terbuka (V_{oc}), (Hans Joachim Möller, 1992).

METODOLOGI PENELITIAN

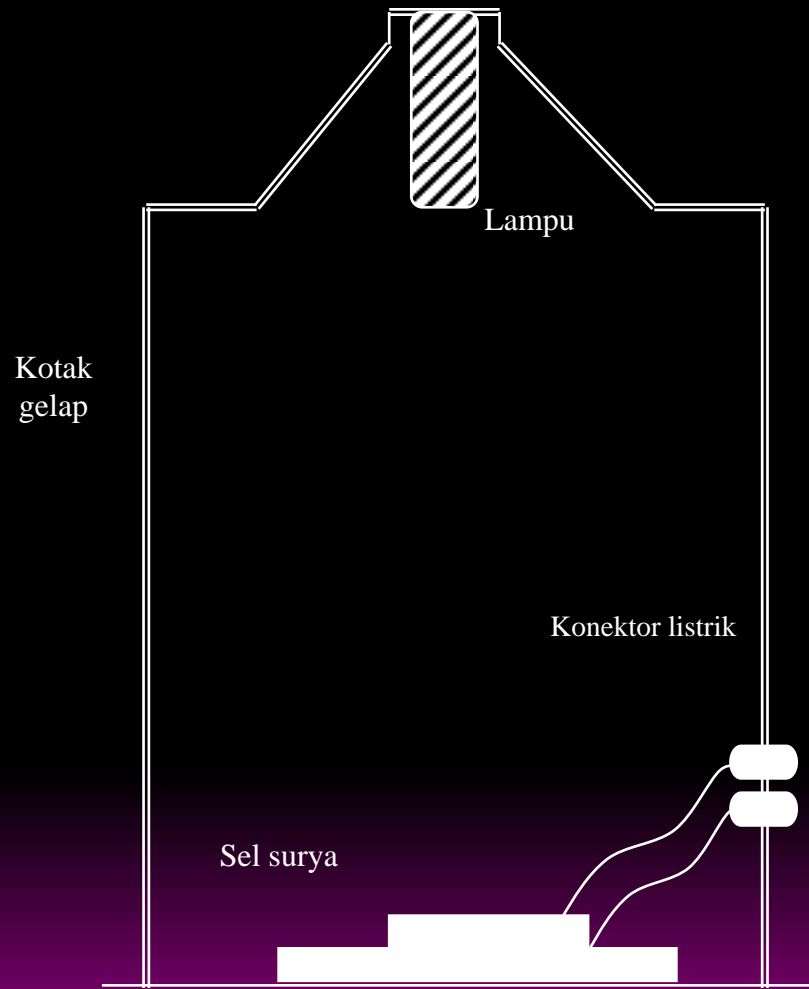


(a)



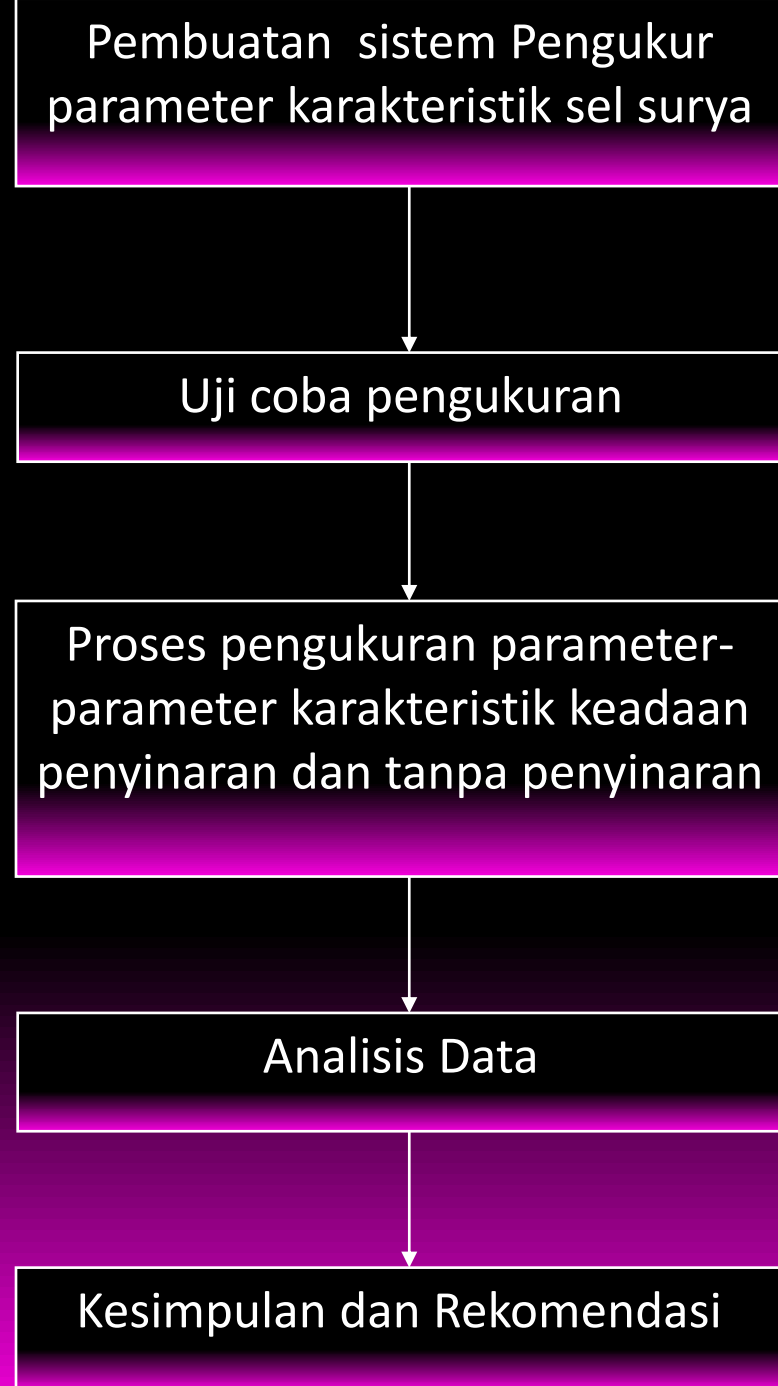
(b)

Gambar 3.1. Rangkaian listrik untuk sistem pengukur karakteristik I-V dalam keadaan tanpa penyinaran (a) dan keadaan diberi penyinaran (b), (Martil dan Gonzalez Diaz, 1992).



Gambar 3.2. Rancangan sistem pengukur karakteristik sel surya

Diagram Alur Penelitian



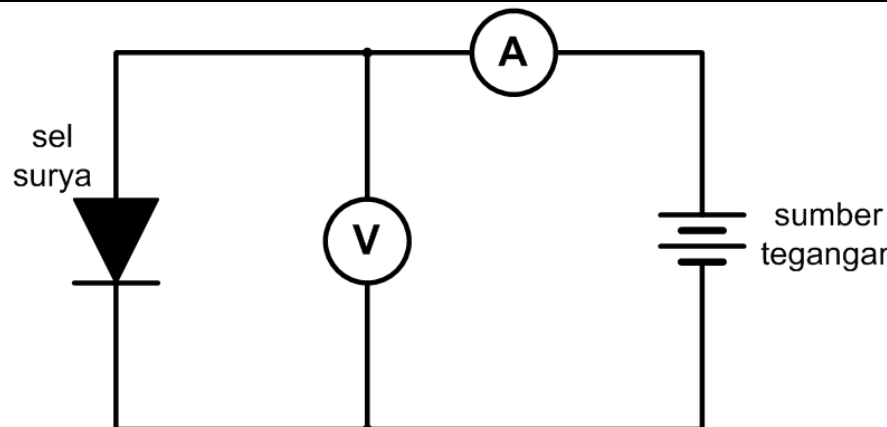
Teknik Pengolahan dan Analisis Data

Karakteristik I-V sel surya dalam keadaan tanpa penyinaran:

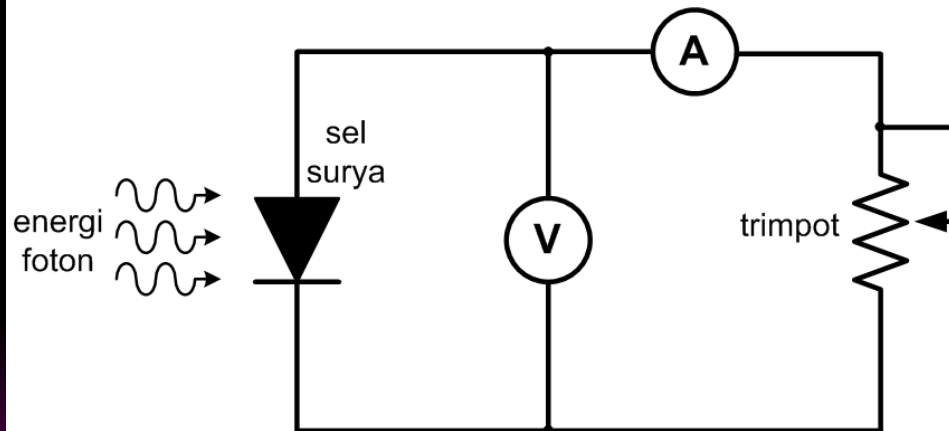
1. Plot kurva Arus terhadap Tegangan (I-V) sel surya dari data hasil pengukuran.
2. Menentukan nilai R_s dan R_{sh} dari kurva I-V.
3. Menentukan I_j dan V_j .
4. Plot kurva I terhadap V_j untuk menentukan I_{OR} dan I_{OD} .

Karakteristik I-V sel surya dalam keadaan penyinaran :

1. Plot kurva karakteristik Arus terhadap Tegangan (I-V) sel surya dari data hasil pengukuran.
2. Menentukan V_{oc} , I_{sc} , dan $V_m I_m$ dari kurva karakteristik I-V.
3. Menentukan faktor pengisian (FF) dan efisiensi (η) sel surya.



(a)



(b)

Rangkaian listrik untuk sistem pengukur karakteristik I-V dalam keadaan tanpa penyinaran (a) dan keadaan diberi penyinaran (b), (Martil dan Diaz, 1992).

HASIL DAN PEMBAHASAN



Gambar 4.1. Sistem pengukur karakteristik I-V sel surya



Gambar 4.2. Rangkaian Sistem Pengukur karakteristik I-V Sel Surya

Karakteristik I-V sel surya dalam keadaan tanpa peninjoran

HASIL DAN PEMBAHASAN



No	V (V)	I (A)
1.	0.1388	0
2.	0.2415	0
3.	0.4350	0
4.	0.6490	0
5.	0.8140	0.0000001
6.	1.0200	0.0000001
7.	1.2300	0.0000002
8.	1.4230	0.0000003
9.	1.6290	0.0000005
10.	1.8510	0.0000013
11.	2.0220	0.0000028
12.	2.3900	0.0000166
13.	2.5540	0.0000368
14.	2.7150	0.0000798
15.	2.8370	0.0001416
16.	3.1310	0.0005460
17.	3.2880	0.0010710

$$I = \frac{V - IR_s}{R_{sh}} + I_{OR} \left[\exp \left(\frac{q(V - IR_s)}{2kT} \right) - 1 \right] + I_{OD} \left[\exp \left(\frac{q(V - IR_s)}{kT} \right) - 1 \right]$$



(2.1) Hubungan arus-tegangan untuk sel surya dalam keadaan tanpa penyinaran.

•Nilai-nilai pada keadaan tegangan (V) tinggi

$$I = I_{OD} \exp \left(\frac{q(V - IR_s)}{kT} \right) \quad (2.2)$$

$$V_j = V - IR_s \quad (2.3)$$

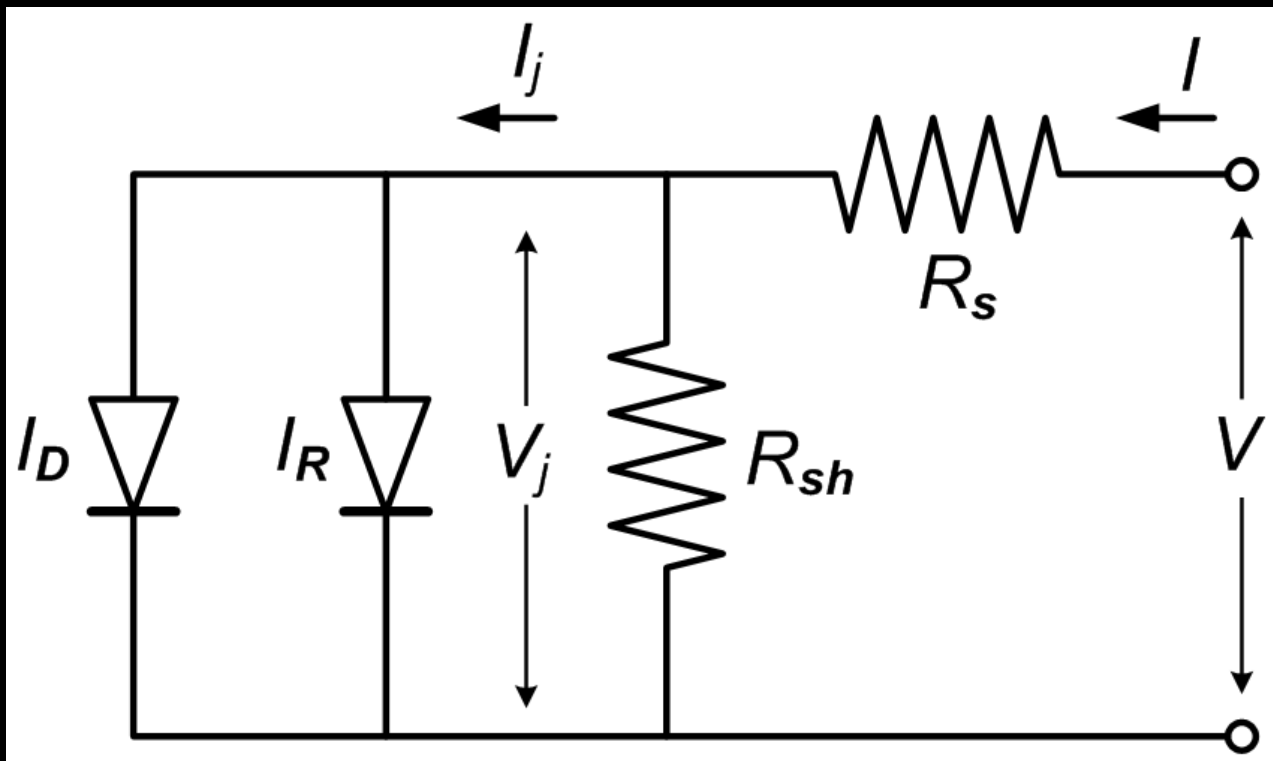
$$I = \frac{V_J}{R_{sh}} + I_{OR} \left[\exp \left(\frac{qV_J}{2kT} \right) - 1 \right] + I_{OD} \left[\exp \left(\frac{qV_J}{kT} \right) - 1 \right] \quad (2.4)$$

•Nilai-nilai pada keadaan tegangan (V) rendah

$$I \approx \frac{V_J}{R_{sh}} \quad (2.5)$$

$$I_J = I - \frac{V_J}{R_{sh}} \quad (2.6)$$

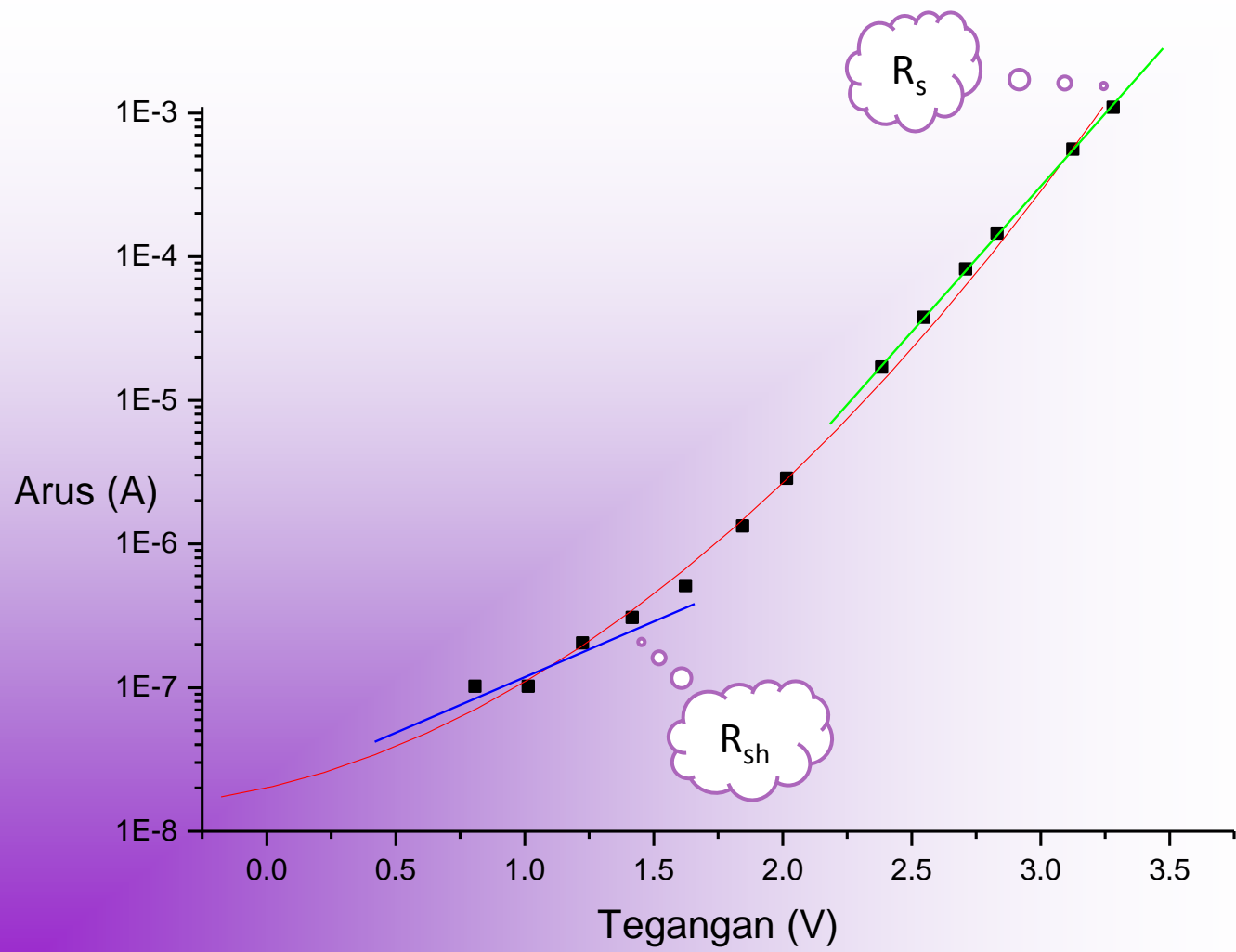
$$I_J = I_{OR} \left[\exp \left(\frac{qV_J}{2kT} \right) - 1 \right] + I_{OD} \left[\exp \left(\frac{qV_J}{kT} \right) - 1 \right]$$



Rangkaian ekivalen untuk sel surya silikon (Martil dan Diaz, 1992).

Karakteristik I-V sel surya dalam keadaan tanpa penyinaran

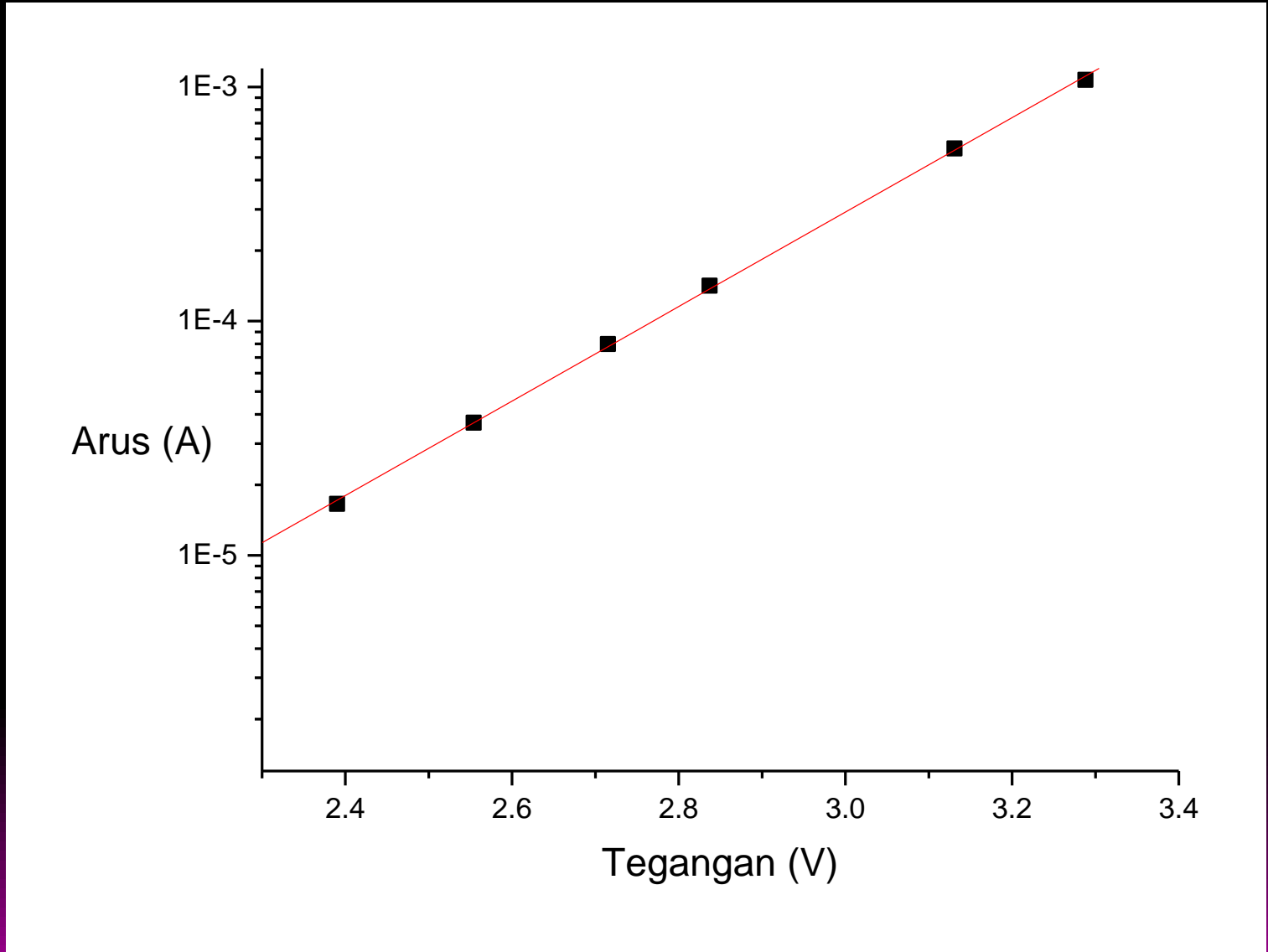

$$R_{sh} = 571.1 \times 10^4 \Omega$$
$$R_s = 0.0901 \times 10^4 \Omega$$



Tabel 2. Nilai-nilai tegangan yang lebih tinggi untuk menentukan nilai R_s

No	V (V)	I (A)
1.	2.3900	0.0000166
2.	2.5540	0.0000368
3.	2.7150	0.0000798
4.	2.8370	0.0001416
5.	3.1310	0.0005460
6.	3.2880	0.0010710

$$R_s = 0.0901 \times 10^4 \Omega$$

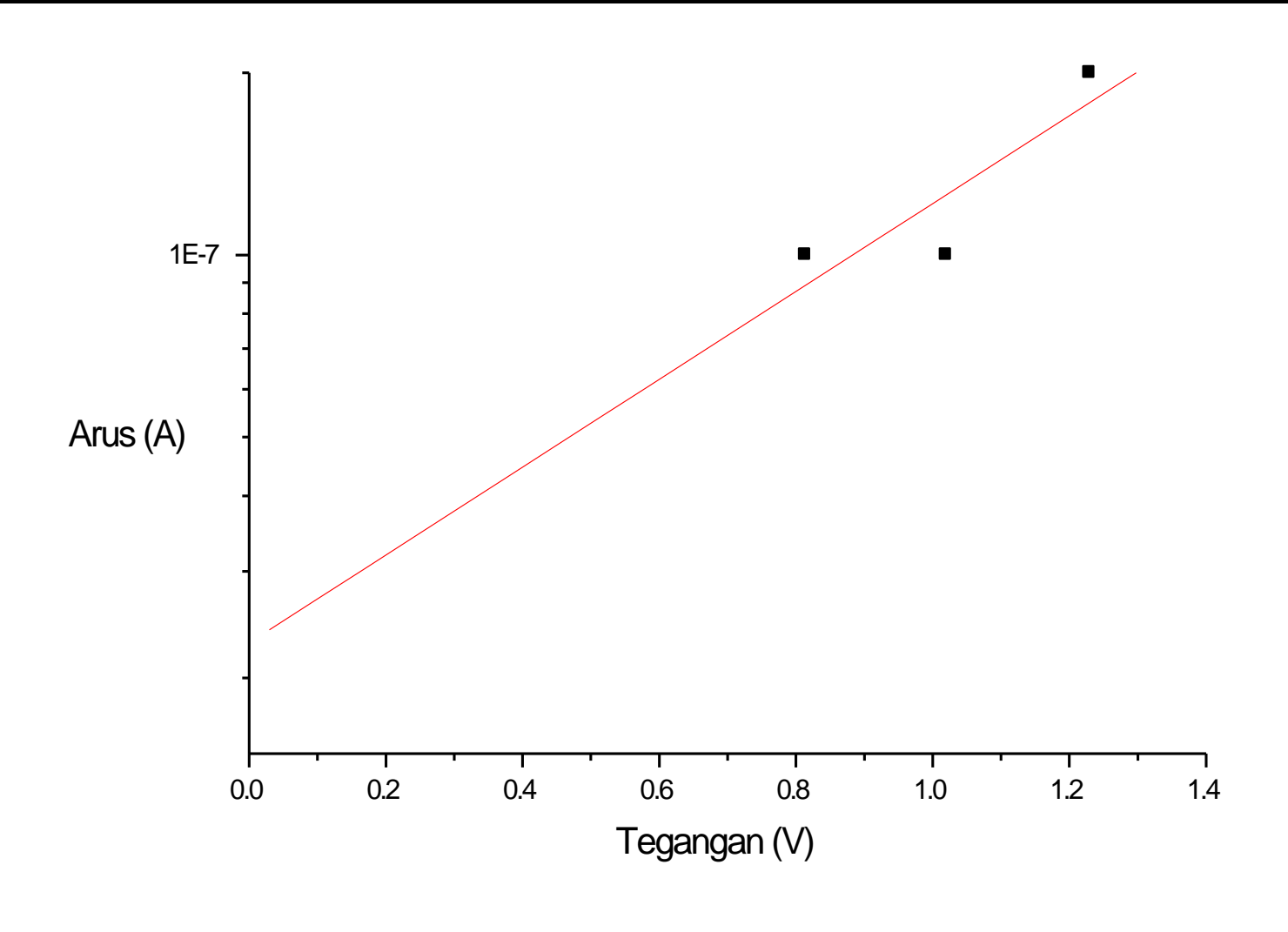


Gambar 2. Kurva karakteristik I-V sel surya untuk menentukan R_s

Tabel 3. Nilai-nilai tegangan yang lebih rendah untuk menentukan nilai R_{sh}

No	V (V)	I (A)
1.	0.1388	0
2.	0.2415	0
3.	0.4350	0
4.	0.6490	0
5.	0.8140	0.0000001
6.	1.0200	0.0000001
7.	1.2300	0.0000002

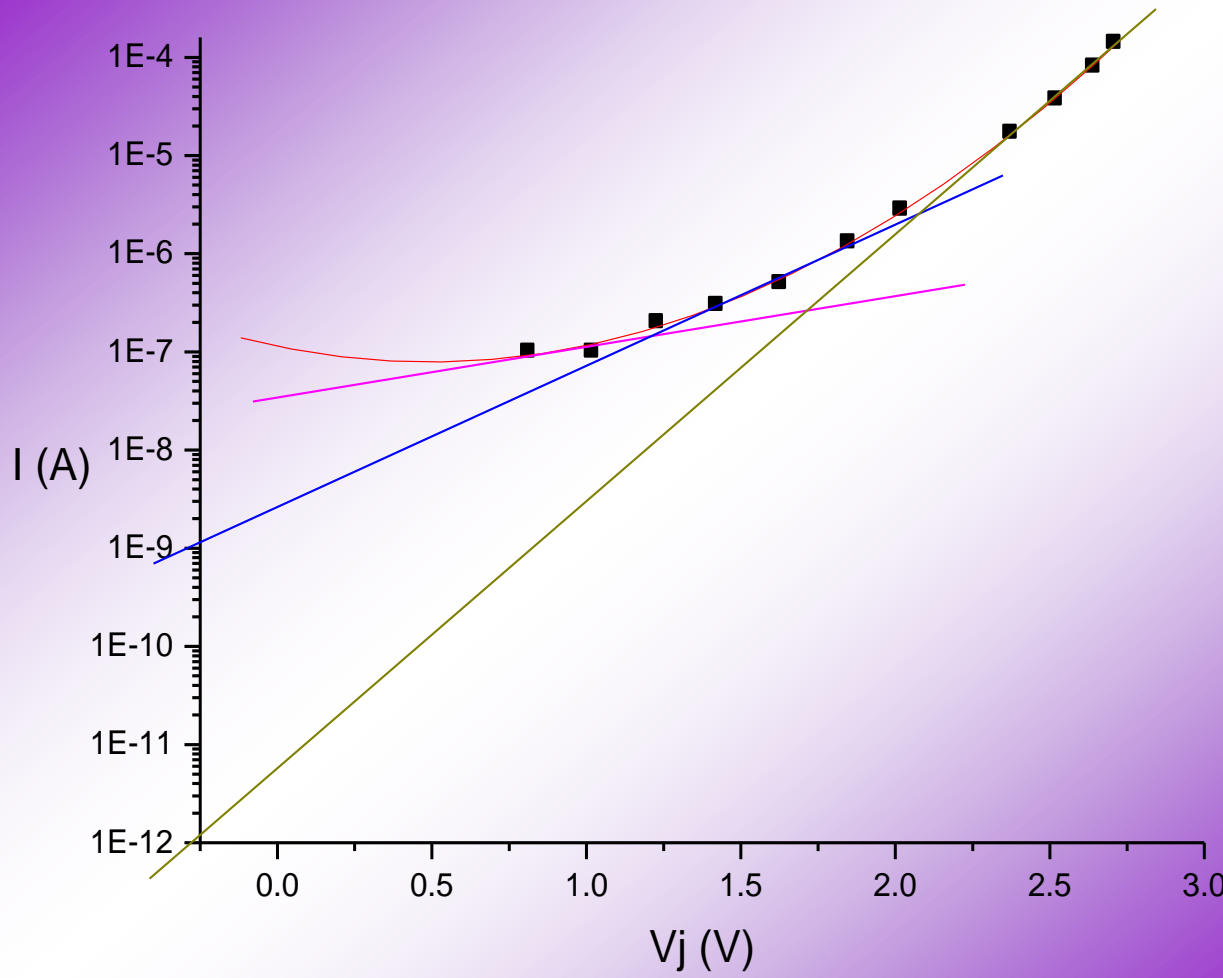
$$R_{sh} = 571.1 \cdot 10^4 \Omega$$



Gambar 3. Kurva karakteristik I-V sel surya untuk menentukan R_{sh}

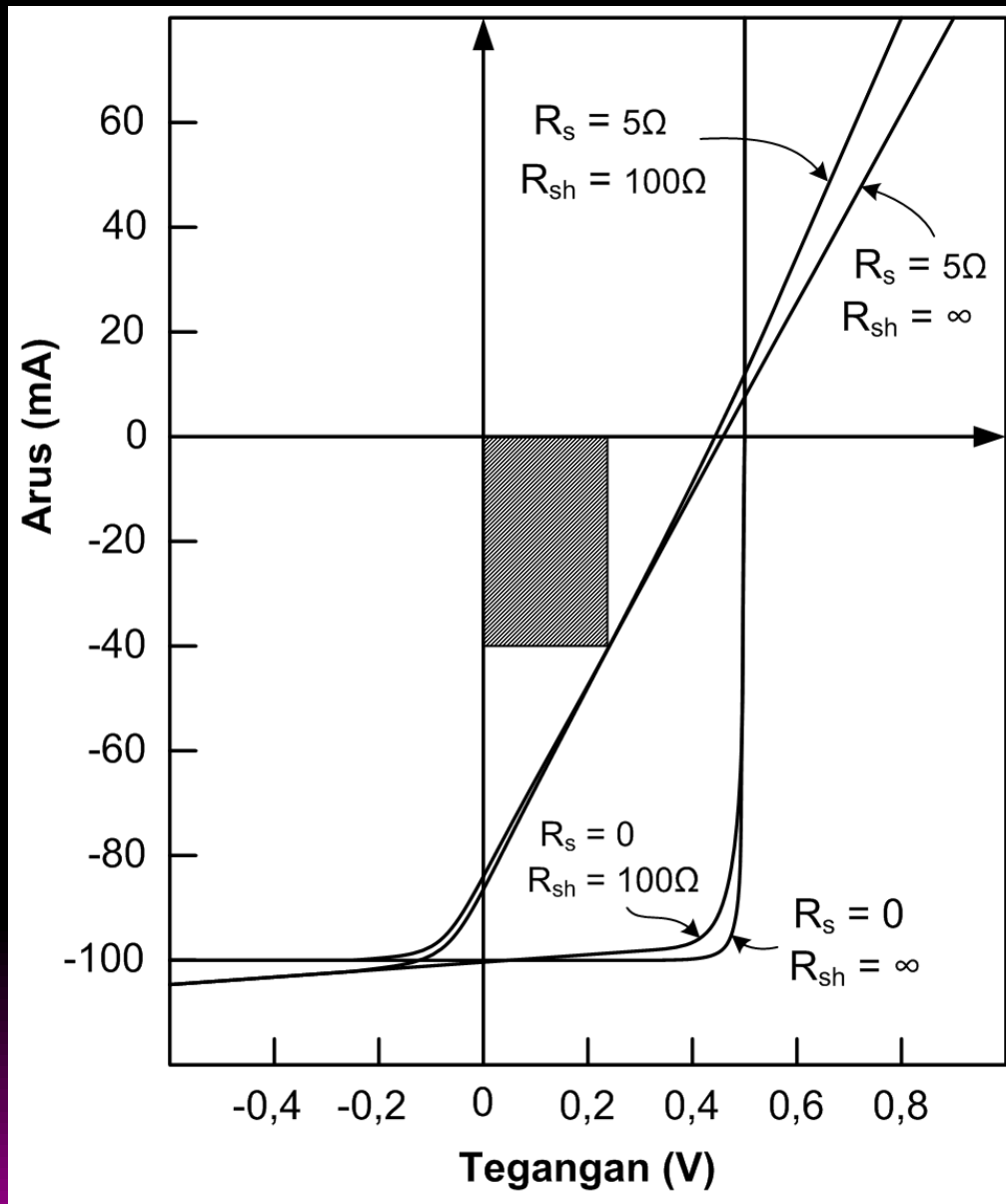
Tabel 4. Hasil Perhitungan nilai V_j dan I_j

No	V (V)	I (A)	V_j (V)	I_j (A)
1.	0.1388	0	0.1388	-2.43E-08
2.	0.2415	0	0.2415	-4.23E-08
3.	0.435	0	0.435	-7.62E-08
4.	0.649	0	0.649	-1.14E-07
5.	0.814	1.00E-07	0.81391	-4.25E-08
6.	1.020	1.00E-07	1.01991	-7.86E-08
7.	1.230	2.00E-07	1.22982	-1.53E-08
8.	1.423	3.00E-07	1.42273	5.09E-08
9.	1.629	5.00E-07	1.62855	2.15E-07
10.	1.851	1.30E-06	1.84983	9.76E-07
11.	2.022	2.80E-06	2.01948	2.45E-06
12.	2.390	1.70E-05	2.37468	1.66E-05
13.	2.554	3.70E-05	2.52066	3.66E-05
14.	2.715	8.00E-05	2.64292	7.95E-05
15.	2.837	0.00014	2.71086	1.40E-04
16.	3.131	0.00055	2.63545	5.50E-04
17.	3.288	0.00107	2.32393	1.07E-03



Kurva karakteristik I terhadap V_j , yang menunjukkan nilai arus saturasi difusi (warna kuning), arus saturasi rekombinasi (warna biru), dan hambatan shunt (warna magenta).

$$I_{OR} = 1.162 \times 10^{-9} A$$
$$I_{OD} = 1.157 \times 10^{-12} A$$



Karakteristik sel surya dengan memperhitungkan hambatan seri dan hambatan shunt (Sze, 1981).

Karakteristik I-V sel surya dalam keadaan penyinaran

Tabel 5. Data yang diperhitungkan dalam eksperimen

Daya Lampu (P_L)	250 watt
Tegangan maksimum lampu (V_L)	24 V
Tegangan yang digunakan pada sel surya (V_c)	15 V
Jarak lampu terhadap sel surya (r)	10 cm
Luas Sel surya (A_{ss})	$(3.5 \times 1.4) \text{ cm}^2 = 4.9 \text{ cm}^2$

Karakteristik I-V sel surya dalam keadaan penyinaran

No	R (Ω)	V (V)	I (A)
1.	100	1.095	15.61
2.	200	2.278	10.08
3.	300	2.472	7.92
4.	400	2.554	6.20
5.	500	2.567	5.02
6.	600	2.615	4.36
7.	700	2.669	3.76
8.	800	2.671	3.28
9.	900	2.674	2.93
10.	1000	2.682	2.64
11.	1100	2.700	2.43
12.	1200	2.715	2.22
13.	1300	2.763	2.11
14.	1400	2.770	1.96
15.	1500	2.782	1.81
16.	1600	2.805	1.74

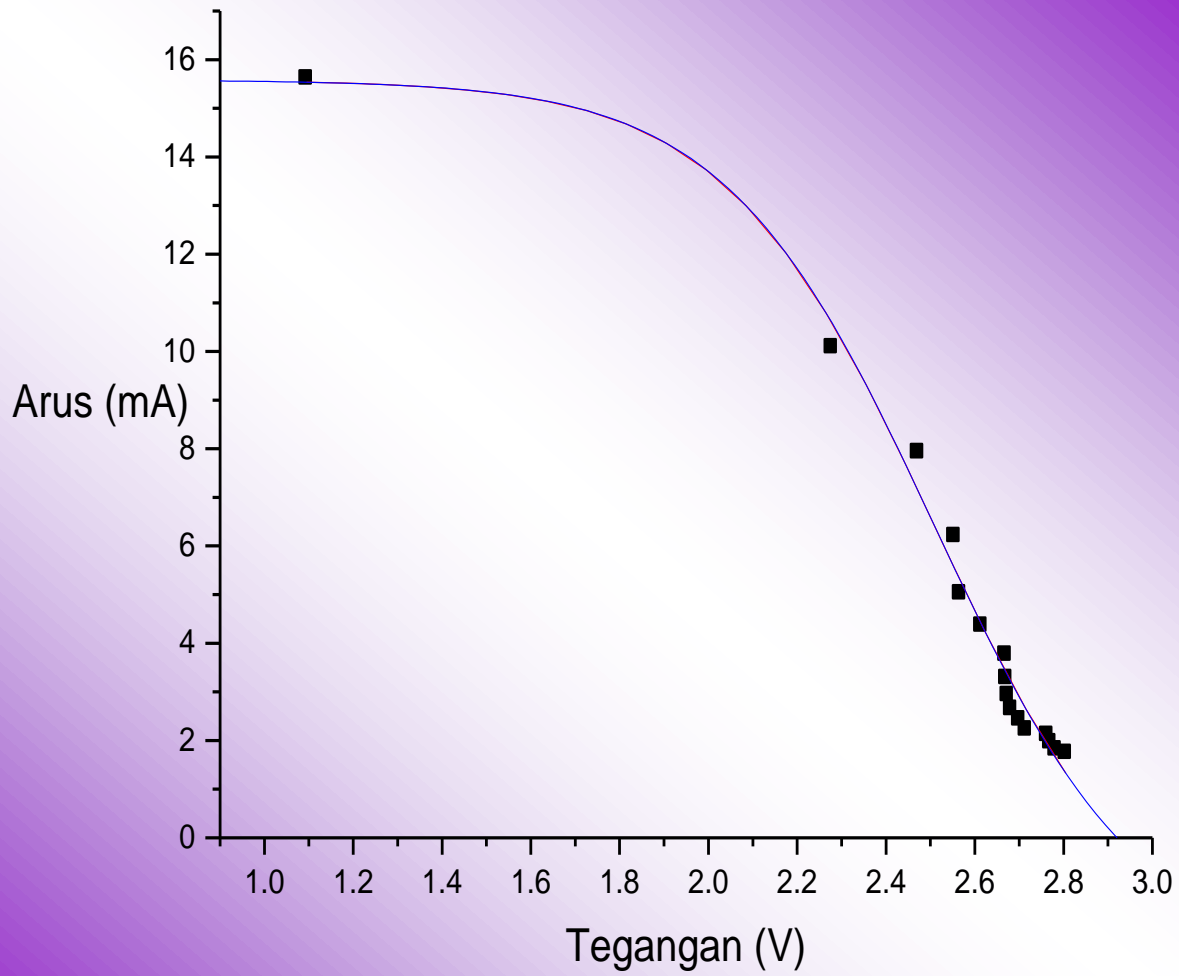
Dalam keadaan penyinaran, karakteristik I-V sel surya menjadi (S. M. Sze, 1981):



$$I = \frac{V - IR_s}{R_{sh}} + I_{OR} \left[\exp \left(\frac{q(V - IR_s)}{2kT} \right) - 1 \right] + I_{OD} \left[\exp \left(\frac{q(V - IR_s)}{kT} \right) - 1 \right] - I_L \quad (2.8)$$

$$FF = \frac{I_m V_m}{I_{sc} V_{oc}} \quad (2.10)$$

$$\eta = \frac{P_{out}}{P_{in}} \times 100\% = \frac{I_{sc} V_{oc} FF}{\Phi A} \times 100\% \quad (2.11)$$



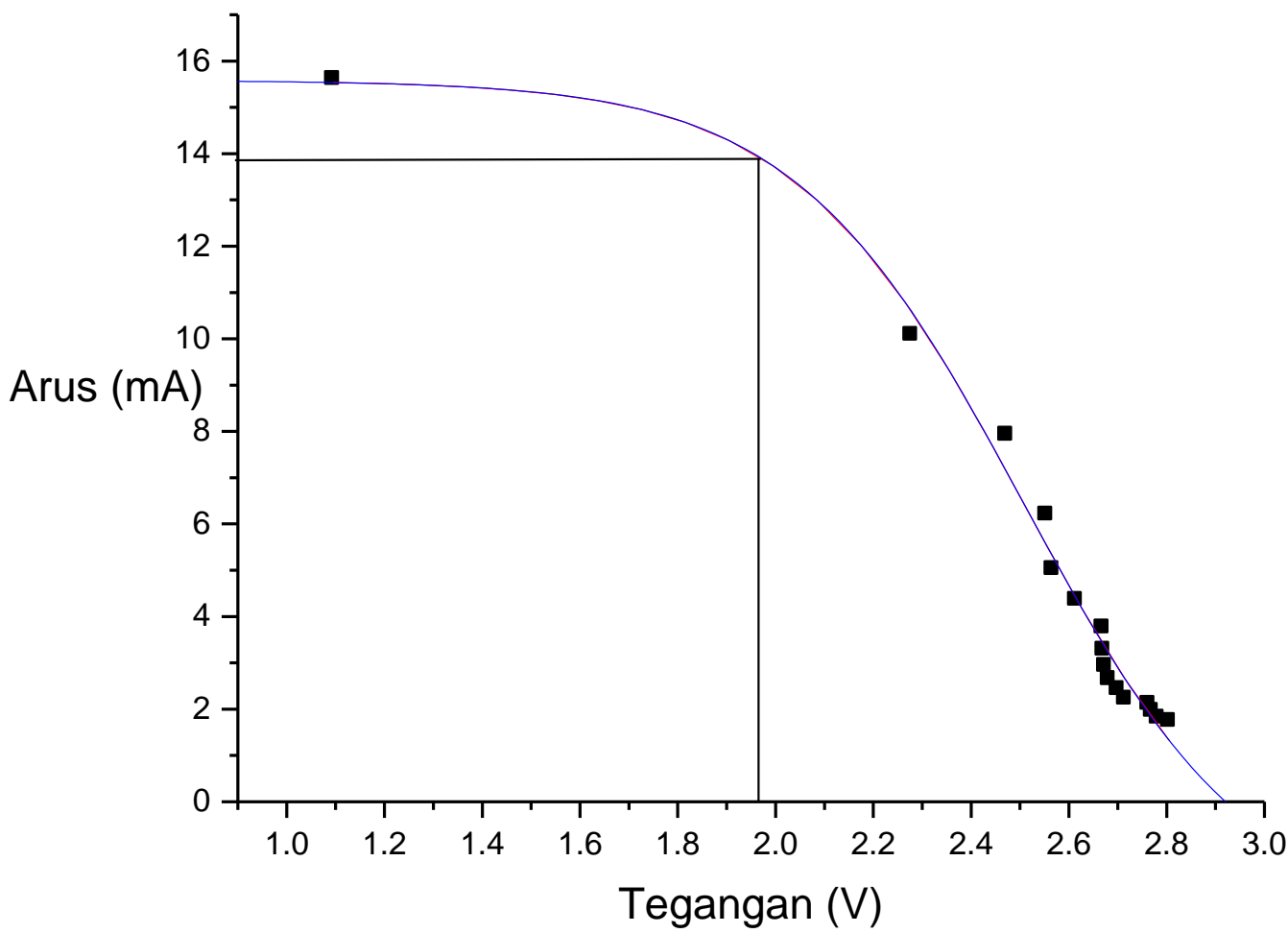
I_{SC} (mA)	15.580270
V_{OC} (V)	2.9353183
$V_m I_m$ (mW)	27.40464
FF	0.5992
η	7.193 %



Karakteristik I-V sel surya dalam Keadaan penyinaran

X (V)	Y (I)	XY (VI)
1.095	15.53636	17.01231
1.185	15.51586	18.38629
1.275	15.48585	19.74446
1.365	15.44197	21.07829
1.455	15.37792	22.37487
1.545	15.28469	23.61485
1.635	15.14952	24.76947
1.725	14.9547	25.79686
1.815	14.67622	26.63734
1.905	14.28291	27.20894
1.995	13.73666	27.40464
2.085	12.99548	27.09558
2.175	12.02094	26.14554
2.265	10.79126	24.4422
2.355	9.31779	21.9434
2.445	7.65768	18.72303
2.535	5.91227	14.9876
2.625	4.20564	11.03981

Tabel 7. Perkalian arus dan tegangan (luasan) di bawah kurva I-V sel surya



Gambar 7. Kurva karakteristik I-V dengan luasan di bawah kurva I-V ($V_m I_m$)

untuk menentukan intensitas cahaya yang sampai ke sel surya, dapat menggunakan persamaan-persamaan di bawah ini:

$$R = \frac{V_L^2}{P_L} = \frac{4V^2}{250W} = 2.304\Omega$$

$$p_c = \frac{V_c^2}{R} = \frac{5V^2}{2.304\Omega} = 97.66W$$

$$\Phi = \frac{P_c}{A} = \frac{97.66W}{4\pi(0cm^2)} = 77.75 \text{ mW/cm}^2$$

Tabel 8. Parameter-parameter karakteristik I-V sel surya silikon amorf dalam keadaan penyinaran yang diperoleh dari eksperimen.

I_{SC} (mA)	15.580270
V_{OC} (V)	2.9353183
$V_m I_m$ (mW)	27.40464
FF	0.5992
η	7.193 %

KESIMPULAN DAN REKOMENDASI

Kesimpulan

1. Dari hasil pengukuran karakteristik I-V sel surya diperoleh nilai R_{sh} dan R_s berturut-turut bernilai $571.1 \times 10^4 \Omega$ dan $0.0901 \times 10^4 \Omega$, FF bernilai 0.5992 dan efisiensinya sebesar 7.193%. Nilai efisiensi dari sel surya ini cukup baik untuk material silikon amorf. Berdasarkan penelitian-penelitian yang telah dilakukan pada silikon amorf, efisiensi yang terukur berkisar (6-9%) (Shahidul I khan,).
2. Pengembangan sistem pengukur karakteristik sel surya yang dihasilkan memiliki akurasi pengukuran yang cukup baik, sehingga hasil yang didapat menggambarkan keadaan riil dari karakteristik bahan yang diukur, dan kedepannya benar-benar dapat digunakan untuk kegiatan praktikum maupun penelitian mahasiswa yang terkait dengan pengembangan piranti sel surya.

Rekomendasi

Untuk pengukuran intensitas sebaiknya menggunakan Intensitimeter dalam satuan W/m^2 dan pengukuran alat (amperemeter) menggunakan alat dengan ketelitian yang cukup tinggi, sehingga dapat mendeteksi arus keluaran yang sekecil mungkin.

TERIMA KASIH

LEKUAIH MAH2I